

# UM ALGORITMO RÁPIDO PARA A TRANSFORMADA WAVELET EM CORPOS FINITOS

R.G.F. Távora, H.M. de Oliveira, R.M. Campello de Souza

CODEC- DES- UFPE

C.P. 7800, 50.711-970 Recife - PE BRASIL

Emails: {Ricardo,hmo}@npd.ufpe.br, rgtavora@bol.com.br

**Resumo** Uma nova versão da Transformada Wavelet foi recentemente definida, a Transformada Wavelet em Corpos Finitos (TWCF). Esta transformada apresenta uma estrutura cíclica e pode ser definida no domínio freqüencial através da Transformada de Fourier em Corpos Finitos. O potencial desta ferramenta é promissor considerando a forma com que surgiram aplicações para a Transformada Wavelet Discreta em diversas áreas da Engenharia Elétrica. Um fator decisivo para o emprego eficiente desta ferramenta é a existência de algoritmos rápidos para o cálculo da mesma. Neste trabalho, um novo algoritmo rápido para a TWCF, com base na Transformada de Fourier em Corpos Finitos, é proposto.

## 1. INTRODUÇÃO

A Transformada Wavelet Discreta (TWD), que está associada à técnica de filtragem por sub-bandas, é uma ferramenta relativamente recente no campo do processamento digital de sinais. Recentemente a Transformada Wavelet em Corpos Finitos foi proposta por Caire *et al.* [1]. Nenhuma aplicação ainda foi proposta para esta nova ferramenta. Entretanto é promissor o emprego desta ferramenta em áreas que utilizam a Transformada de Fourier em Corpos Finitos (TFCF), como em Códigos Algébricos e em Criptografia, assim como aconteceu para a Transformada Wavelet Discreta que tem aplicações em várias áreas [2, 3, 4, 5] onde a Transformada de Fourier é usada. Um fator decisivo para a aplicação destas transformadas discretas é a existência de algoritmos rápidos para o cálculo das mesmas. Neste trabalho a TWCF é definida, explicitando sua estrutura cíclica. O projeto dos filtros  $g$  e  $h$  (passa-altas e passa-baixas respectivamente) é abordado e um novo algoritmo rápido para o cálculo da TWCF usando a TFCF é apresentado.

## 2. A TRANSFORMADA WAVELET CÍCLICA

As condições necessárias obtidas na análise no domínio da freqüência para a geração dos filtros em Quadratura Espelhada (QMF) [6] (filtros passa-altas  $g$  e passa-baixas  $h$ ) não são sempre suficientes, e outras condições devem ser impostas para garantir a reconstrução perfeita [7]. No entan-

to, quando as seqüências analisadas são periódicas, estas condições são também suficientes [1]. Neste caso, as matrizes  $H^j$  e  $G^j$ , na escala  $j$ , obtidas para os filtros, são matrizes circulares,

$$G^j = \begin{bmatrix} g_0^j & g_1^j & g_2^j & \cdots & g_{N_j-1}^j \\ g_{N_j-2}^j & g_{N_j-1}^j & g_0^j & \cdots & g_{N_j-3}^j \\ g_{N_j-4}^j & g_{N_j-3}^j & g_{N_j-2}^j & \cdots & g_{N_j-5}^j \\ \vdots & \vdots & \vdots & \cdots & \vdots \\ g_2^j & g_3^j & g_4^j & \cdots & g_1^j \end{bmatrix},$$

e

$$H^j = \begin{bmatrix} h_0^j & h_1^j & h_2^j & \cdots & h_{N_j-1}^j \\ h_{N_j-2}^j & h_{N_j-1}^j & h_0^j & \cdots & h_{N_j-3}^j \\ h_{N_j-4}^j & h_{N_j-3}^j & h_{N_j-2}^j & \cdots & h_{N_j-5}^j \\ \vdots & \vdots & \vdots & \cdots & \vdots \\ h_2^j & h_3^j & h_4^j & \cdots & h_1^j \end{bmatrix},$$

logo esta transformada é cíclica. As matrizes  $G^j$  e  $H^j$  são completamente definidas pela primeira linha. A dizimação está embutida nas matrizes com deslocamentos cíclicos duplos das linhas. A aplicação recursiva destes filtros implementa um algoritmo de Análise de Multiresolução (AM) para o caso de seqüências  $c^j$  e  $d^j$  de período igual aos seus comprimentos ( $N_{j+1}$ ). Além das condições para geração serem mais simples para a Transformada Wavelet Cíclica, a análise no domínio freqüencial em Corpos Finitos só é possível com a utilização da TFCF, que também é cíclica. Logo a definição da TWCF é feita para o caso cíclico.

## 3. A TRANSFORMADA WAVELET EM CORPOS FINITOS

Seja  $F = GF(p^r)$ , onde  $p$  é primo,  $N = 2^n$  e  $\alpha \in GF(p^r)$  um elemento de ordem  $2^{n-1}$ . Para projetar transformadas em Corpos Finitos deve-se construir seqüências  $\{g^j, h^j \in F\} | j = 1, 2, \dots, n\}$  que satisfaçam às condições para a reconstrução perfeita, i.e. [1]

$$G^*G + H^*H = I, \quad HG^* = 0, \quad (1)$$

onde  $I$  denota a matriz identidade. Defina-se:

$$\begin{aligned}\gamma^m &= TFCF(g^m), \quad m = 0, 1, \\ \eta^m &= TFCF(h^m), \quad m = 0, 1.\end{aligned}$$

Então estas condições podem ser transferidas para o domínio frequencial [1], resultando em

$$\begin{aligned}\gamma_{-k}^0 \gamma_k^0 + \gamma_{-k}^1 \gamma_k^1 &= \frac{1}{N'}, \\ \eta_k^m &= (-1)^m v_k \gamma_{-k}^{1-m}, \quad m = 0, 1.\end{aligned}\quad (2)$$

Logo, dadas duas seqüências  $\gamma$  e  $\eta$ , que satisfaçam à equação (2), deseja-se construir seqüências  $\{g^j, h^j | j = 1, 2, \dots, n\}$  que especifiquem um esquema  $AM$ . Seqüências  $g^j$  e  $h^j$  que permitem uma reconstrução perfeita podem ser obtidas através de

$$\begin{aligned}g_{2l+m}^j &= TDF^{-1}[\{\gamma^m(\alpha^{2^{j-1}k}) | k = 0, 1, \dots, 2^{n-j} - 1\}]_l, \\ h_{2l+m}^j &= TDF^{-1}[\{\eta^m(\alpha^{2^{j-1}k}) | k = 0, 1, \dots, 2^{n-j} - 1\}]_l,\end{aligned}\quad (3)$$

para  $l = 0, 1, \dots, 2^{n-j} - 1$ , e  $m = 0, 1$ .

Pode-se mostrar [1] que  $G^j$  e  $H^j$  satisfazem à equação (1) para cada  $j$ .

Um exemplo para a TWCF é apresentado a seguir. Considerando o caso em que

$$h_k = (-1)^k g_{(1-k) \pmod{N}}, \quad k = 0, 1, \dots, N-1.$$

Seja  $F = GF(2^q + 1)$  tal que  $2^q + 1$  é um primo de Fermat. Neste caso pode-se definir a transformada para todos os casos  $n \leq q + 1$ . Tem-se  $\alpha = \alpha_0^{2^{q-n+1}}$ , onde  $\alpha_0$  é um elemento primitivo de  $F$ . Por exemplo, em  $GF(17)$ , definindo os filtros no domínio da frequência:

$$\begin{aligned}\eta^0 &= \{1 \ 0 \ 0 \ 0 \ 0 \ 0 \ 0 \ 0\}, \\ \eta^1 &= \{16 \ 6 \ 6 \ 6 \ 6 \ 6 \ 6 \ 6\},\end{aligned}$$

pode-se verificar facilmente que para qualquer inteiro  $k$

$$\eta_k^0 \eta_{-k}^0 + \eta_k^1 \eta_{-k}^1 = 1/N',$$

onde  $N' = 9$ . Usando o núcleo  $\zeta = 9 \in GF(17)$ , e calculando o filtro  $h$  a partir da transformada inversa de Fourier em  $GF(17)$ , e aplicando a relação  $h_k = (-1)^k g_{(1-k) \pmod{N}}$ , obtém-se  $h = \{3, 2, 14, 2, 14, 2, 14, 2, 14, 2, 14, 2, 14, 2\}$ , e  $g = \{15, 3, 15, 14, 15, 14, 15, 14, 15, 14, 15, 14, 15, 14\}$ . A partir de  $g$  e da equação (3) pode-se calcular as demais seqüências:

$$\begin{aligned}g^2 &= \{13, 16, 13, 6, 13, 6, 13, 6\}, \\ h^2 &= \{16, 4, 6, 4, 6, 4, 6, 4\}, \\ g^3 &= \{9, 11, 9, 5\}, \\ h^3 &= \{11, 8, 5, 8\}.\end{aligned}$$

Sejam  $G$  e  $H$  as matrizes 2-circulantes geradas pelas linhas  $g$  e  $h$  respectivamente, e  $G^T$  e  $H^T$  suas respectivas transpostas. Pode-se verificar que  $GH^T = HG^T = 0$  e  $H^T G + G^T H = \frac{1}{N'} I$ .

#### 4. UM ALGORITMO RÁPIDO PARA A TWCF BASEADO NA TFCF

A TWCF de comprimento  $N$  pode ser calculada pela aplicação sucessiva dos operadores  $G$  e  $H$ , de acordo com

$$\begin{aligned}(Gx)_k &= \sum_{l=0}^{N-1} g_{l-2k} x_l, \\ (Hx)_k &= \sum_{l=0}^{N-1} h_{l-2k} x_l.\end{aligned}$$

Sejam  $c$  e  $d$  as seqüências dadas por  $c_k = (Hx)_k$  e  $d_k = (Gx)_k$ . Estes somatórios equivalem, cada um, a uma correlação seguida de uma subamostragem e podem ser calculados através da TFCF de comprimento  $N$ , pelo teorema da convolução. Dessa forma pode-se empregar os algoritmos rápidos existentes para a TFCF [8]. Neste caso, se a transformada dos filtros  $h$  e  $g$  forem pré-calculadas, são necessárias uma TFCF direta e duas TFCF inversas de comprimento  $N$ , além de  $2N$  multiplicações no domínio frequencial. No entanto, este cálculo pode ser mais eficiente. Calculando a TFCF da seqüência  $c$  usando como núcleo um elemento  $\zeta$  de ordem  $N/2$ , tem-se

$$\begin{aligned}C(i) &= \sum_{k=0}^{N/2-1} c(k) \zeta^{ik} = \\ &= \sum_{k=0}^{N/2-1} \sum_{j=0}^{N-1} h(j-2k) x(j) \zeta^{ik} = \\ &= \sum_{j=0}^{N-1} x(j) \sum_{k=0}^{N/2-1} h(j-2k) \zeta^{ik}.\end{aligned}$$

O somatório interno pode ser calculado de forma separada para os casos em que  $j$  é par ou ímpar, introduzindo novas seqüências  $\{\tilde{h}^0\}$  e  $\{\tilde{h}^1\}$  expressas por

$$\begin{aligned}\{\tilde{h}^0\} &= \{h(0) \ h(-2) \ h(-4) \ \dots \ h(2)\}, \\ \{\tilde{h}^1\} &= \{h(1) \ h(-1) \ h(-3) \ \dots \ h(3)\}.\end{aligned}$$

Logo, para  $j$  par:

$$S = \sum_{k=0}^{N/2-1} h(j-2k) \zeta^{ik} = \sum_{k=0}^{N/2-1} \tilde{h}^0(k) \zeta^{ik} \zeta^{ij/2} = \tilde{\eta}^0(i) \zeta^{ij/2},$$

onde  $\tilde{\eta}^0(i) = TFCF(\tilde{h}^0(k))$ .

Para  $j$  ímpar:

$$\begin{aligned}S &= \sum_{k=0}^{N/2-1} h(j-2k) \zeta^{ik} = \\ &= \sum_{k=0}^{N/2-1} \tilde{h}^1(k) \zeta^{ik} \zeta^{i(j-1)/2} = \\ &= \tilde{\eta}^1(i) \zeta^{i(j-1)/2},\end{aligned}$$

onde  $\tilde{\eta}^1(i) = TFCF(\tilde{h}^1(k))$ . Por outro lado,

$$\begin{aligned}&\sum_{j=0}^{N-1} x(j) \sum_{k=0}^{N/2-1} h(j-2k) \zeta^{ik} = \\ &= \sum_{j=0}^{N/2-1} x(2j) S + \sum_{j=0}^{N/2-1} x(2j+1) S.\end{aligned}$$

Substituindo a expressão de  $S$ , tem-se

## 5. CONCLUSÕES

$$C(i) = \sum_{j=0}^{N/2-1} x(2j)\tilde{\eta}^0(i)\zeta^{ij} + \sum_{j=0}^{N/2-1} x(2j+1)\tilde{\eta}^1(i)\zeta^{ij}.$$

Definindo agora as expressões  $\{x^0\}$  e  $\{x^1\}$  dadas por

$$\begin{aligned} \{x^0\} &= \{ x(0) \quad x(-2) \quad x(-4) \quad \cdots \quad x(2) \}, \\ \{x^1\} &= \{ x(1) \quad x(-1) \quad x(-3) \quad \cdots \quad x(3) \}, \end{aligned}$$

tem-se

$$C(i) = \sum_{j=0}^{N/2-1} x^0(j)\tilde{\eta}^0(i)\zeta^{ij} + \sum_{j=0}^{N/2-1} x^1(j)\tilde{\eta}^1(i)\zeta^{ij}.$$

Sejam  $\{X^0\}$  e  $\{X^1\}$  as *TFCF* de  $\{x^0\}$  e  $\{x^1\}$ , respectivamente. Logo os valores de  $C(i)$  podem ser calculados de acordo com

$$C(i) = X^0(i)\tilde{\eta}^0(i) + X^1(i)\tilde{\eta}^1(i).$$

Finalmente  $c(k) = TFCF^{-1}(C(i))$ .

O cálculo efetuado para a seqüência  $\{d\}$  é análogo. Sejam

$$\begin{aligned} \{\tilde{g}^0\} &= \{ g(0) \quad g(-2) \quad g(-4) \quad \cdots \quad g(2) \}, \\ \{\tilde{g}^1\} &= \{ g(1) \quad g(-1) \quad g(-3) \quad \cdots \quad g(3) \}, \\ \tilde{\gamma}^0(i) &= TFCF(\tilde{g}^0(k)), \\ \tilde{\gamma}^1(i) &= TFCF(\tilde{g}^1(k)). \end{aligned}$$

Tem-se

$$D(i) = TFCF(d(k))$$

e

$$D(i) = X^0(i)\tilde{\gamma}^0(i) + X^1(i)\tilde{\gamma}^1(i).$$

Logo, são necessárias duas *TFCF* diretas e duas *TFCF* inversas de comprimento  $N/2$ . O número de multiplicações no domínio freqüencial é  $2N$ .

Pode-se observar também que  $\tilde{\eta}^0(i) = \tilde{\gamma}^1(i)$ , e  $\tilde{\eta}^1(i) = -\tilde{\gamma}^0(i)$ .

Logo

$$C(i) = X^0(i)\tilde{\gamma}^1(i) - X^1(i)\tilde{\gamma}^0(i).$$

Observando que as expressões de  $C(i)$  e  $D(i)$  possuem a mesma estrutura de uma multiplicação complexa, elas podem ser calculadas por [8, pag. 73]

$$\begin{aligned} &\begin{bmatrix} C(i) \\ D(i) \end{bmatrix} = \\ &= \begin{bmatrix} 1 & 0 & -1 \\ 1 & 1 & 0 \end{bmatrix} \begin{bmatrix} X^0(i) & & \\ & X^1(i) - X^0(i) & \\ & & X^0(i) + X^1(i) \end{bmatrix} \begin{bmatrix} 1 & 1 \\ 1 & 0 \\ 0 & 1 \end{bmatrix} \begin{bmatrix} \tilde{\gamma}^1(i) \\ \tilde{\gamma}^0(i) \end{bmatrix}. \end{aligned}$$

Dessa forma, reduz-se o número de multiplicações no domínio da freqüencial de  $2N$  para  $3N/2$ . A figura 1 ilustra o esquema do cálculo da TWCF pelo algoritmo descrito.

O algoritmo proposto reduz a complexidade para o cálculo da TFCF, especialmente quando os filtros são definidos na freqüência e possuem poucos elementos nulos. Uma outra alternativa para reduzir a complexidade do cálculo da transformada consiste no uso de filtros com poucos coeficientes não nulos. Para isso, deve-se projetar os filtros no domínio do tempo, o que é mais difícil que no domínio freqüencial. Se as linhas das matrizes  $H^j$  e  $G^j$  possuem no máximo  $M$  elementos não nulos, então o  $j$ -ésimo estágio da decomposição precisará de no máximo  $MN2^{1-j}$  multiplicações e  $(M-1)N2^{1-j}$  adições. Logo a decomposição completa precisará de no máximo uma ordem de  $(2M-1)N \sum_{j=0}^{n-1} 2^{-j} = 2(2M-1)(N-1)$  operações, em comparação com  $O(N \log_2(N))$  do algoritmo proposto usando a TFCF.

Uma possível aplicação para a TWD é a compressão de imagens. Um esquema proposto por Ingrid et al. [9], utiliza a TWD com técnica de pré-codificação e de fatoração ('lifting'), para permitir o mapeamento de seqüências de  $Z^N$  em  $Z^N$ , onde  $Z^N$  denota seqüências de comprimento  $N$  com elementos inteiros, evitando assim os erros de arredondamento. Este esquema pode ser então aplicado à compressão de imagens sem perda. A TWCF parece ser mais apropriada para esta aplicação, uma vez que imagens com componentes em  $Z^N$  possuem TWCF também com componentes em  $Z^N$ , sem que seja necessário qualquer pré-codificação.

## 6. REFERÊNCIAS

- [1] CAIRE, G.; GROSSMAN, R. L.; POOR, H. V. Wavelet Transforms Associated with Finite Cyclic Groups. *IEEE Transactions on Information Theory*, v. 39, n. 4, julho 1993.
- [2] LEARNED, R. E.; KRIM, H.; CLAUS, B. Wavelet-Packet Based Multiple Access Communication. *SPIE International Symposium*, julho 1994.
- [3] LINDSEY, A. R.; DILL, J. C. Wavelet Packet Modulation: A Generalized Method for Orthogonal Multiplexed Communications.
- [4] VILLASENOR, J.; BELTZER, B.; LIAO, J. Wavelet Filter Evaluation for Image Compression. *IEEE Trans. on Image Processing*, v. 2, p. 1053–1060, agosto 1995.
- [5] COIFMAN, R.; MEYER, Y.; QUAKE, S.; WICKHAUSER, V. Signal Processing and Compression with Wavelet Packets. Numerical Algorithms Research Groups, Yale University, 1990.
- [6] VAIDYANATHAN, P. P. Quadrature Mirror Filters, M-band Extensions and Perfect-Reconstruction Techniques. *ASSP Magazine*, v. 4, n. 3, p. 4–20, julho 1987.

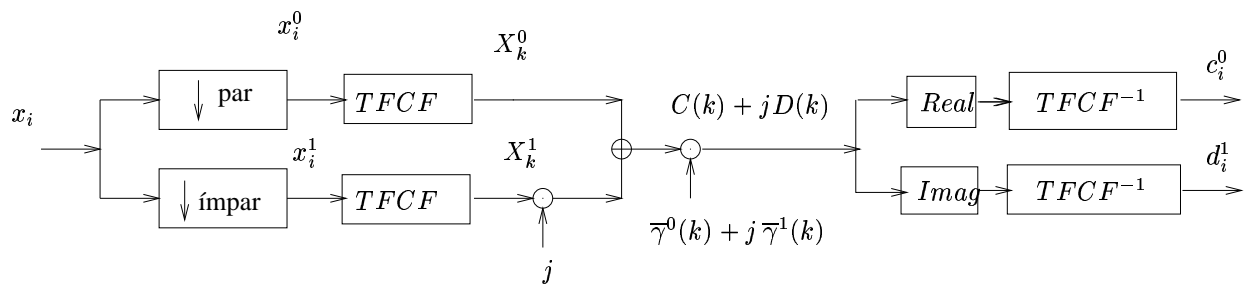


Figura 1: Esquema da cálculo da TWCF pela decomposição bifásica.

- [7] DAUBECHIES, I. Ten Lectures on Wavelets. SIAM, 1992.
- [8] BLAHUT, R. E. Fast Algorithms for Digital Signal Processing. Addison-Wesley, 1985.
- [9] CALDERBANK, A. R.; DAUBECHIES, I.; SWELDENS, W.; YEO, B. Wavelet Transforms that Map Integers to Integers. *Appl. Comput. Harmon. Anal.*, v. 5, n. 3, p. 332–369, 1998.